

Figuras en color



Fig. 1. Pozu'l Fresnu en el Mazucu (Asturias), ejemplo de MSP. Caverna de disolución donde se encuentra *Brevilia triangulum*. Además es la localidad típica del Trechini *Apoduvallius aphaenopsianus* Español & Vives, 1983 (Foto: E. Couceiro).



Fig. 2. Cova des Toscllasses en Bonansa (Huesca), ejemplo de MSP. Caverna de origen tectónico donde se encuentra *Stygiophyes ribagorzanus*. Además es la localidad típica del Trechini *Aphaenops catalonicus* Escolà & Canció, 1983 (Foto: I. Ribera).



Fig. 3. MSS de Seira (Huesca), localidad típica de *Trapezodirus escollae*, donde también habitan *Trapezodirus bolivari* y *Catops ventricosus rotundatus*. Derrubios de vertiente estabilizados con los clastos soldados entre sí por concreción caliza y cubiertos por un suelo.



Fig. 4. MSS de Santorens (Huesca), localidad típica de *Stygiophyes hansferyi*. Derrubios de vertiente estabilizados con la parte superior colmatada y cubierta por un suelo.



Fig. 5. MSS de Barruera (Leida), localidad donde se encuentra *Stygiophyes aldomai allomorphus*. Derrubios de vertiente inestables sin suelo.



Fig. 6. Hojarasca y musgos en el interior de un hayedo cerca de la cueva de Artzegi, Peña Gorbeia (Álava). En este lugar habitan *Bathysciola breuili* y *Ptomaphagus tenuicornis tenuicornis* (Foto: C. Bourdeau).

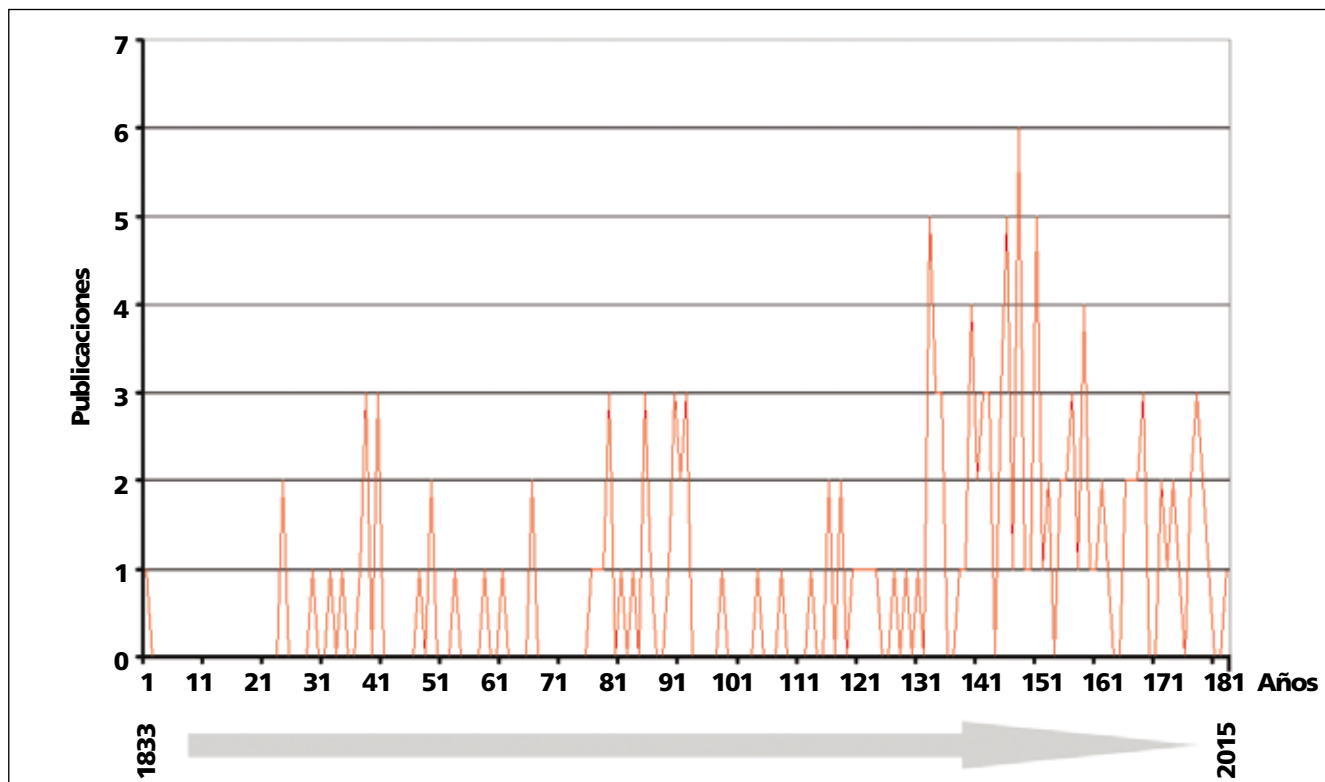


Fig. 7. Publicaciones que incluyen nombres de rango específico o subespecífico.

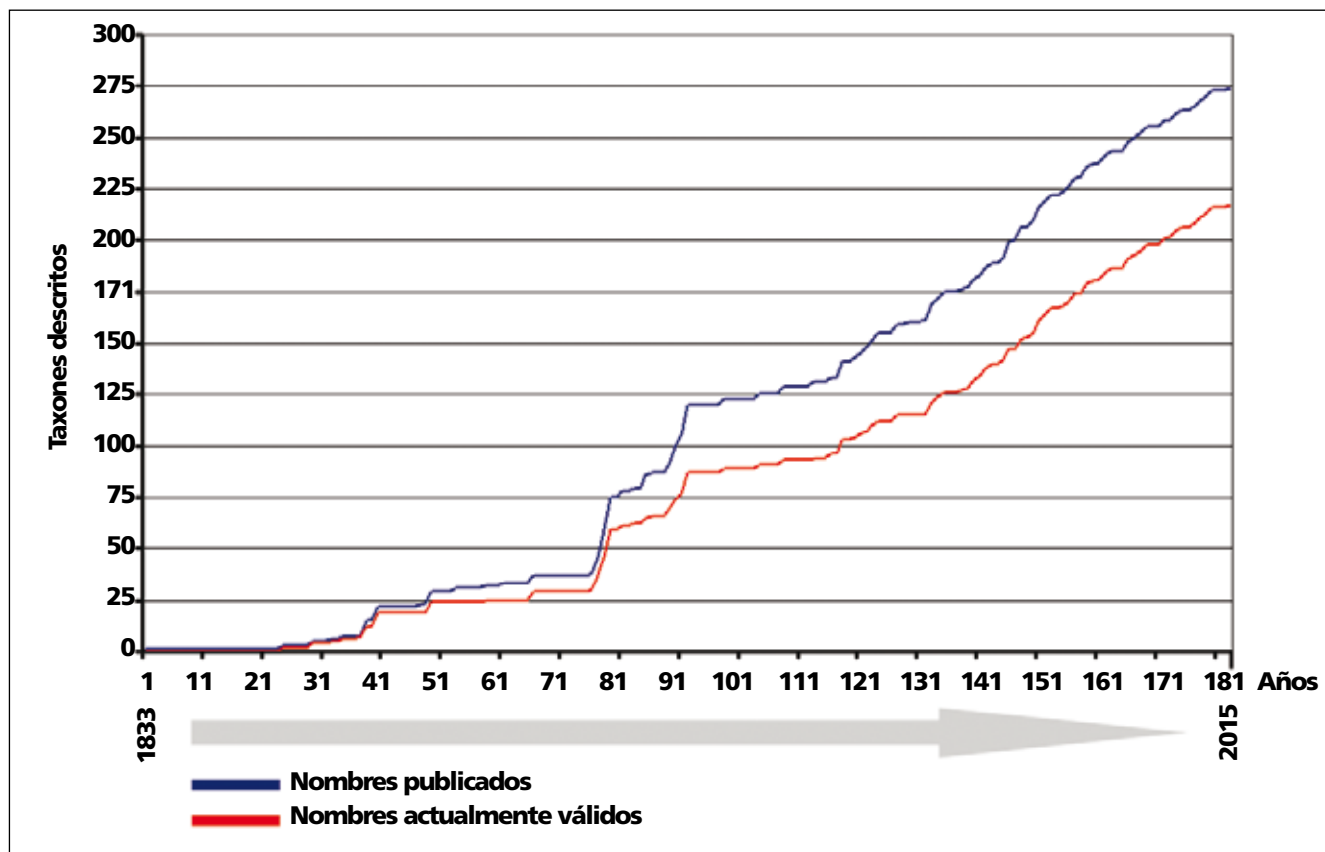


Fig. 8. Número de nombres publicados de rango específico o inferior acumulados por periodo: todos ellos en azul y los actualmente aceptados como válidos en rojo.



Fig. 9. División administrativa de la península Ibérica: And. Andorra. Baleares: Ib. Ibiza; MII. Mallorca; Mn. Menorca. España: A. Alicante; Ab. Albacete; Al. Almería; Av. Ávila; B. Barcelona; Ba. Badajoz; Bi. Vizcaya; Bu. Burgos; C. Coruña; Ca. Cádiz; Cc. Cáceres; Co. Córdoba; CR. Ciudad Real; Cs. Castellón; Cu. Cuenca; Ge. Girona; Gr. Granada; Gu. Guadalajara; H. Huelva; Hu. Huesca; J. Jaén; L. Lleida; Le. León; Lo. Rioja; Lu. Lugo; M. Madrid; Ma. Málaga; Mu. Murcia; Na. Navarra; O. Asturias; Or. Orense; P. Palencia; Po. Pontevedra; S. Cantabria; Sa. Salamanca; Se. Sevilla; Sg. Segovia; So. Soria; SS. Guipúzcoa; T. Tarragona; Te. Teruel; To. Toledo; V. Valencia; Va. Valladolid; Vi. Álava; Z. Zaragoza; Za. Zamora. Portugal: AAI. Alto Alentejo; BAI. Baixo Alentejo; Ag. Algarve; BA. Beira Alta; BB. Beira Baixa; BL. Beira Litoral; DL. Douro Litoral; E. Estremadura; Mi. Minho; R. Ribatejo; TM. Trás-os-Montes.

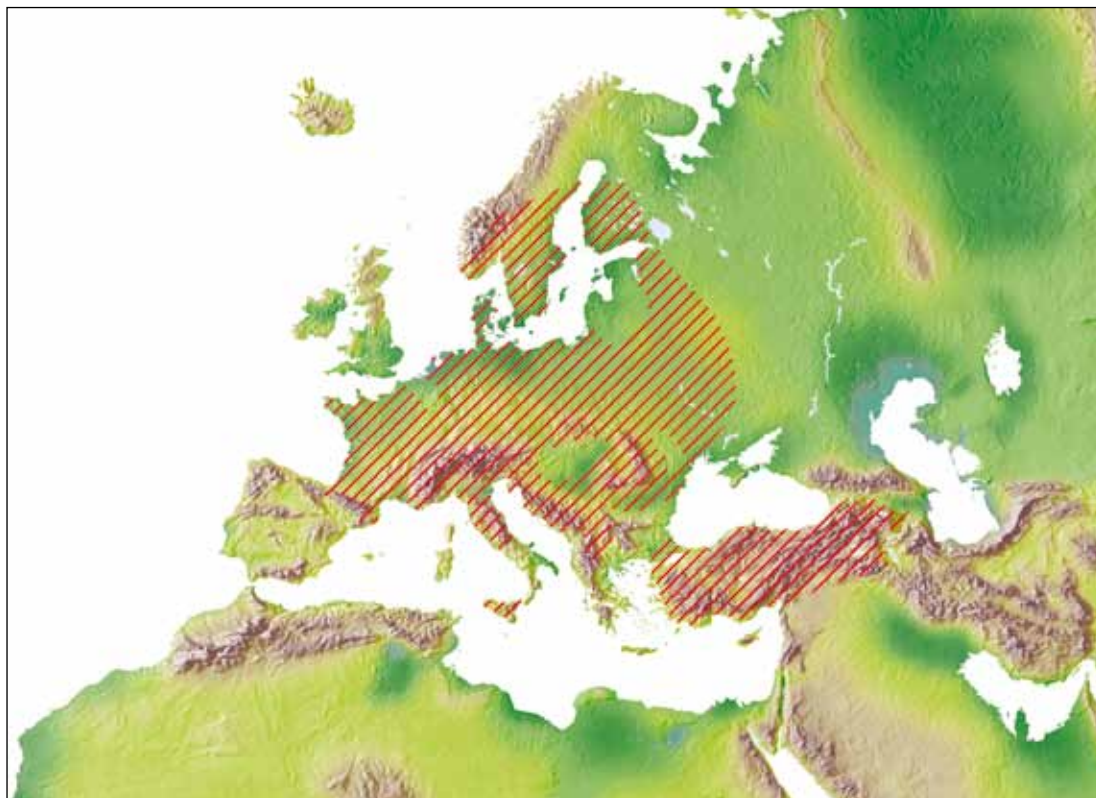


Fig. 10. Modelo de categoría transpirenaica: área de distribución aproximada de *Catops subfuscus* (compuesto a partir de datos de Jeannel (1936), Perreau (2000), Salgado et al. (2008) y Fauna Europaea (2009)).



Fig. 11. Modelo de categoría meridional: área de distribución de *Catops fuscus fuscoides* (modificado de Fresneda & Fadrique, 2007).

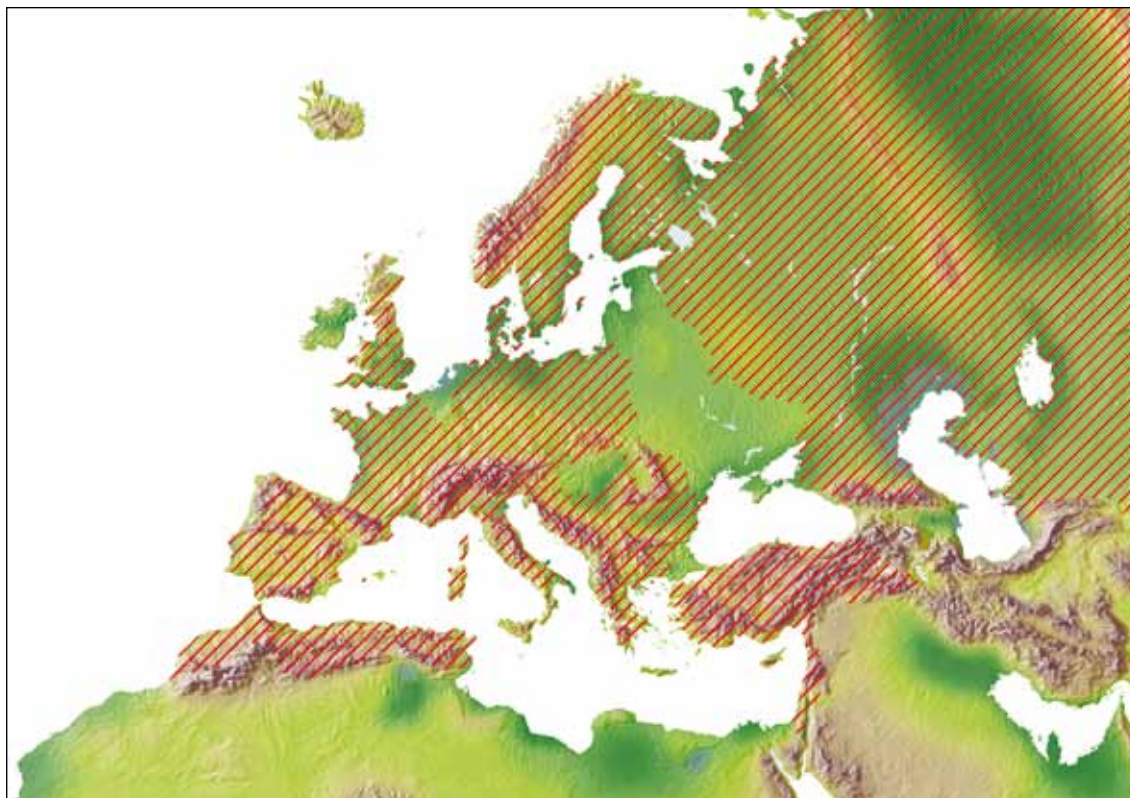


Fig. 12. Modelo de categoría transibérica: área de distribución aproximada de *Catops coracinus* (compuesto a partir de datos de Jeannel (1936); Perreau (2000); Salgado et al. (2008) y Fauna Europaea (2009). Saltan a la vista las lagunas en los Países Bajos, en la Europa oriental y al sur del Cáucaso: es posible que la especie también se encuentre en esos territorios a condición de que en ellos exista el ambiente adecuado.

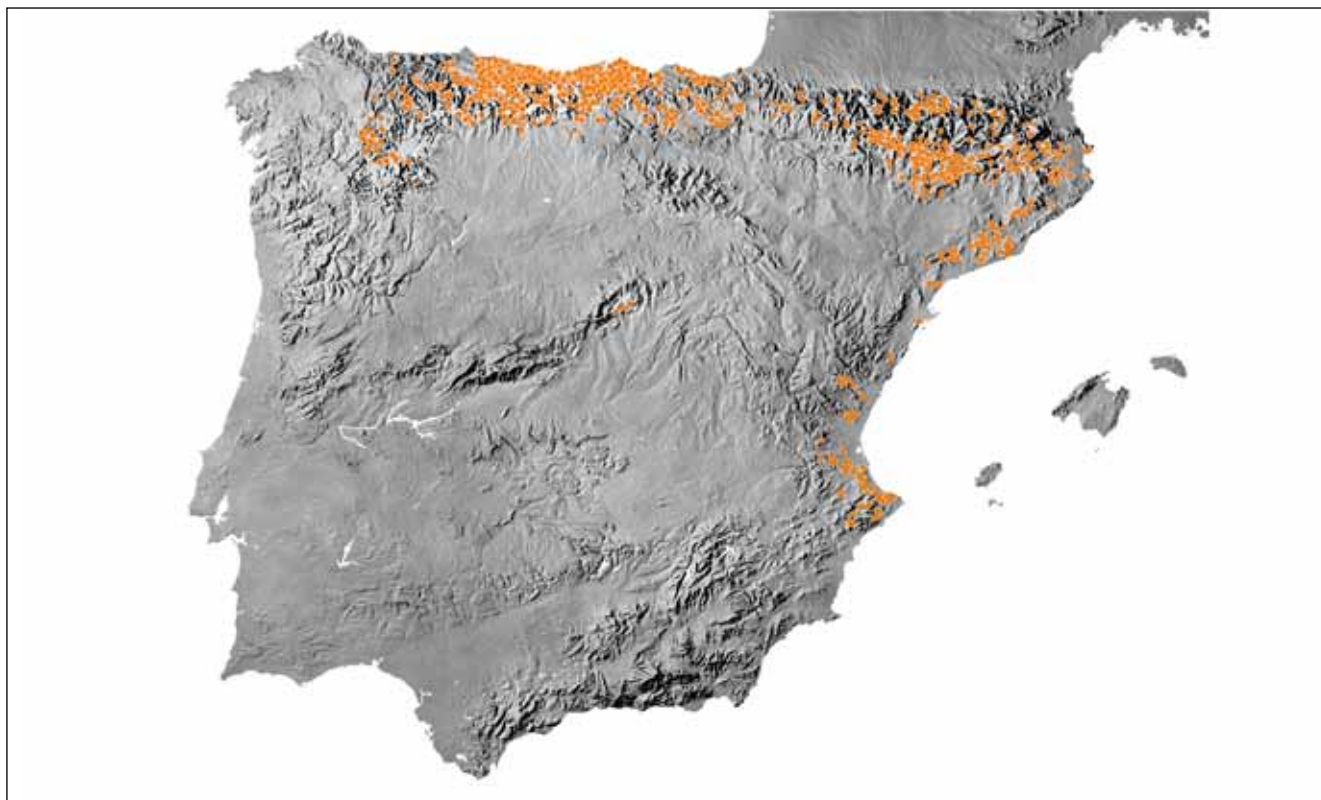


Fig. 14. Mapa de distribución de los Leptodirini ibéricos.

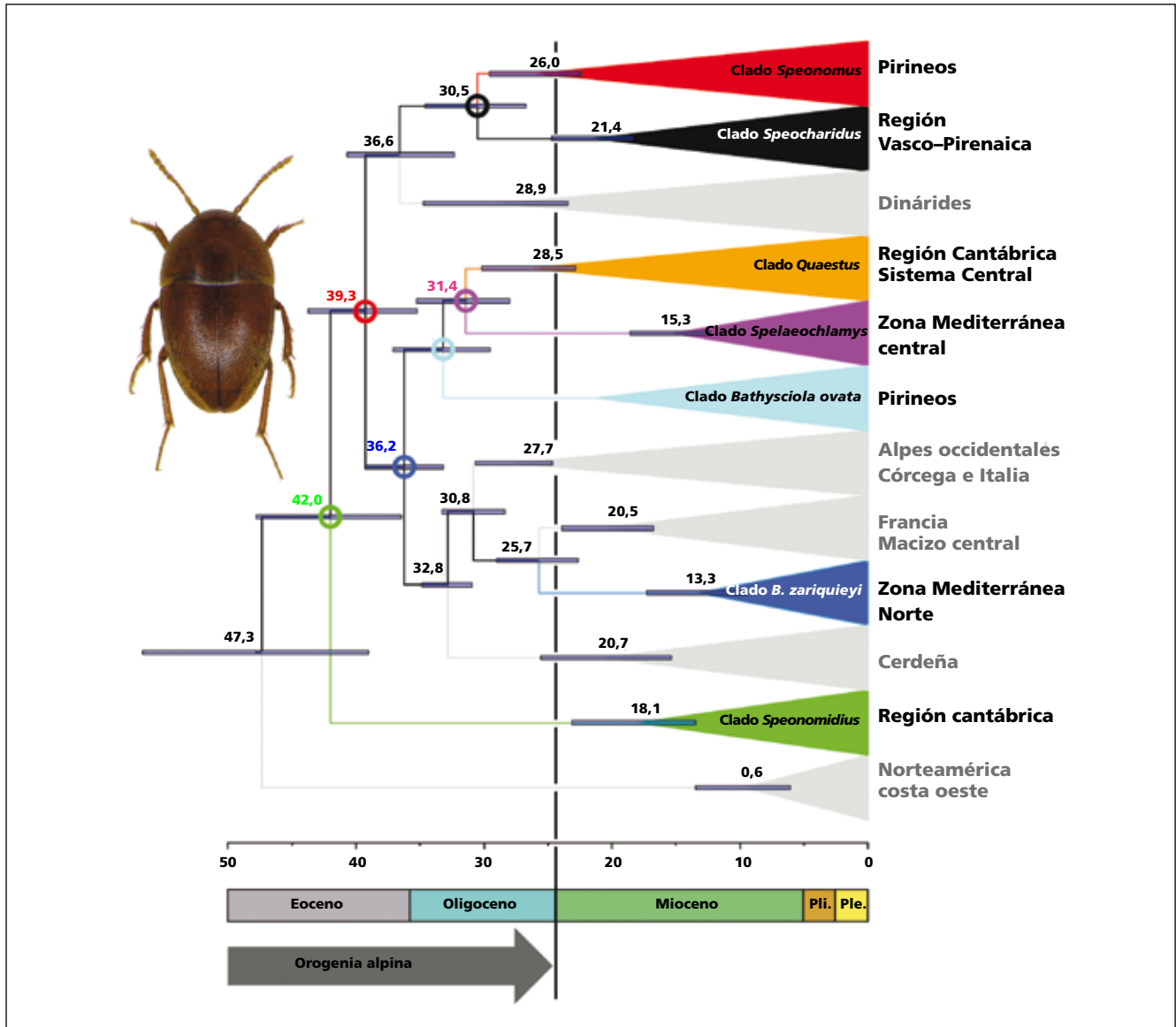


Fig. 13. Filogenia basada en técnicas moleculares de los Leptodirini ibéricos. Este es un árbol ultramétrico que se obtiene del análisis de la combinación de todos los genes secuenciados (cinco mitocondriales y dos nucleares). Las cifras en los distintos nodos indican los millones de años de divergencia; en gris se han representado los clados sin representación ibérica. Las barras en los nodos indican los intervalos temporales con un 95% de probabilidad de posición de la edad estimada. Modificado de Cieslak et al. (2014).

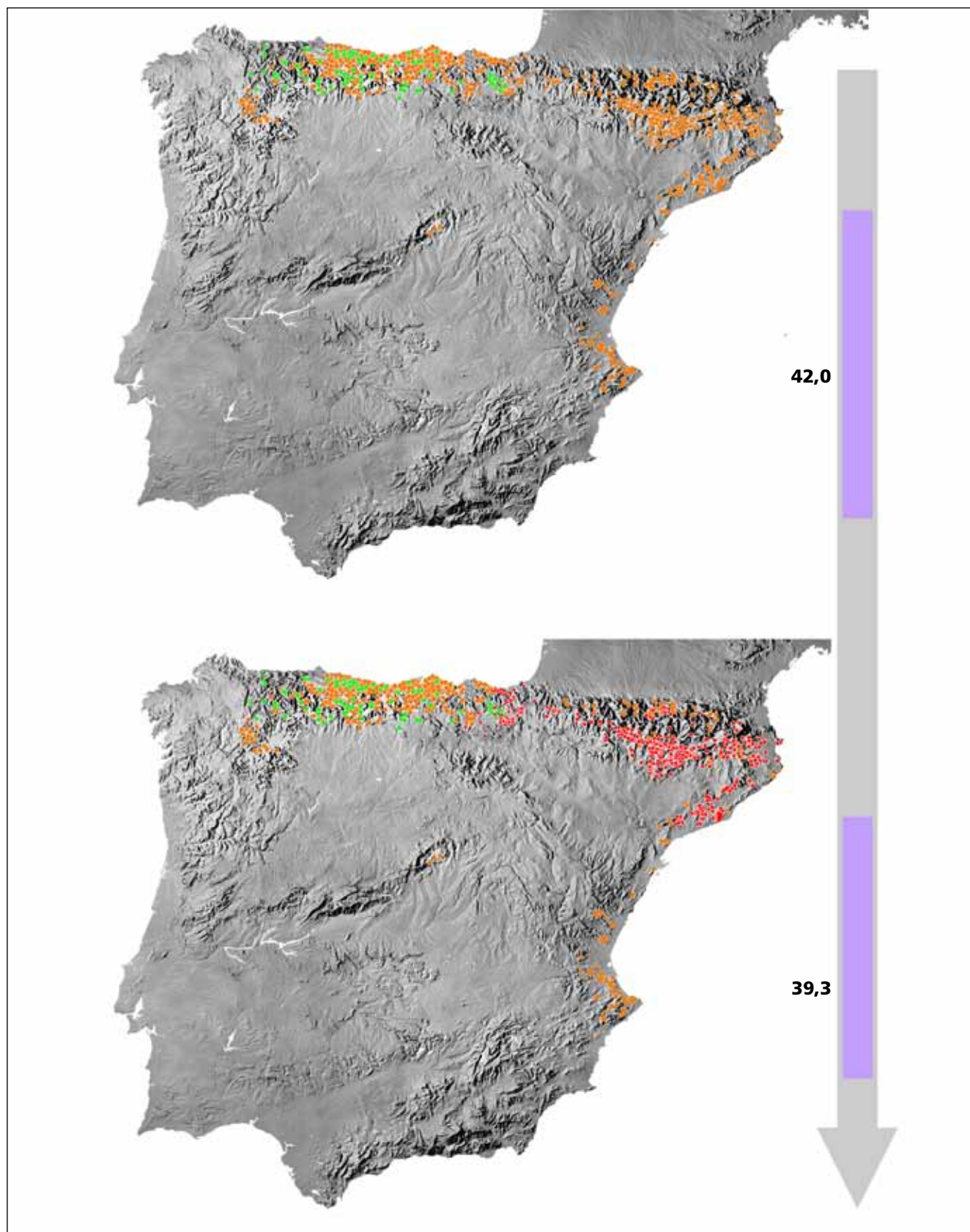


Fig. 15. Nodo en 42,0 MA del árbol filogenético de la figura 13: cladogénesis del clado «*Speonomiidae*» (verde). Nodo en 39,3 Ma del árbol filogenético de la figura 13: cladogénesis del clado «*Speonimus*» (rojo) + clado «*Speocharidius*» (rojo) + elementos de los Alpes Dináricos [*Astagobius angustatus* Schmidt, 1852; *Leptodirus hohenwartii* Schmidt, 1832; *Parapropus sericeus* (Schmidt, 1852); *Bathysciotes khevenhuelleri* Miller, 1852 o *Bathyscimorphus byssinus* (Schiodte, 1848)] (fuera del mapa). Se observa que la distribución de los elementos endogeos del clado «*Speocharidius*» se solapa con la del clado «*Speonimus*» en la vertiente francesa del macizo pirenaico: ocupan distinto ambiente.

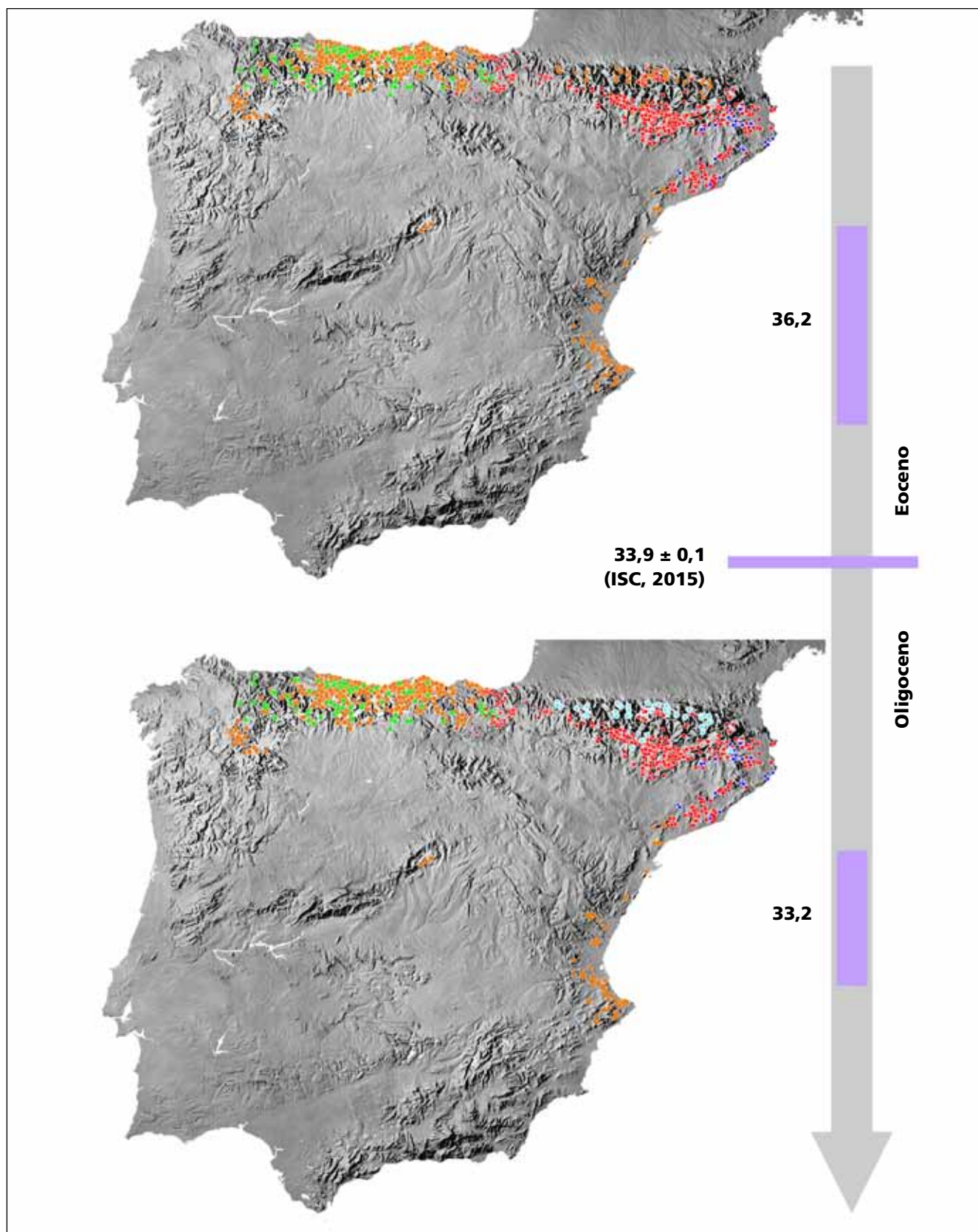


Fig. 16. Nodo en 36,2 MA del árbol filogenético de la figura 13: cladogénesis de los Leptodirini sardos —*Ovobathysciola majori* (Reitter, 1885), *Ovobathysciola gestroi* (Fairmaire, 1872) o *Bathysciola fortesculpta* Jeannel 1914— (fuera del mapa) + clado de «*Bathysciola zariquieyi*» (azul oscuro) + elementos del Macizo Central francés, Alpes occidentales e Italia —*Diaprysius fagniezi* Jeannel, 1910, *Diaprysius serullazi* Peyerimhoff, 1904, *Diaprysius caudatissimus* (Abeille de Perrin, 1876), *Diaprysius sicardi* Mayet, 1907, *Bathysciola linderi* (Abeille de Perrin, 1875), *Speophyes lucidulus* (Delarouzzée, 1860), *Parabathyscia spagnolei* (Fairmaire, 1882), *Parabathyscia dematteisi* Ronchetti & Pavan, 1953, *Parabathyscia wollastoni* (Janson, 1857), *Bathysciola aubei* (Kiesenwetter, 1850), *Cytodromus dapsoides* (Abeille de Perrin, 1876), *Royerella tarissani* (Bedel, 1878), *Isereus colasi* Bonadonna, 1955, *Troglodromus bucheti* (Sainte-Claire-Deville, 1898), *Speodiaetus bucheti* (Abeille de Perrin, 1905) o *Speodiaetus galloprovincialis* (Fairmaire, 1860)— (fuera del mapa). Nodo en 33,2 Ma del árbol filogenético de la figura 13: cladogénesis del clado de «*Bathysciola ovata*» (azul claro).

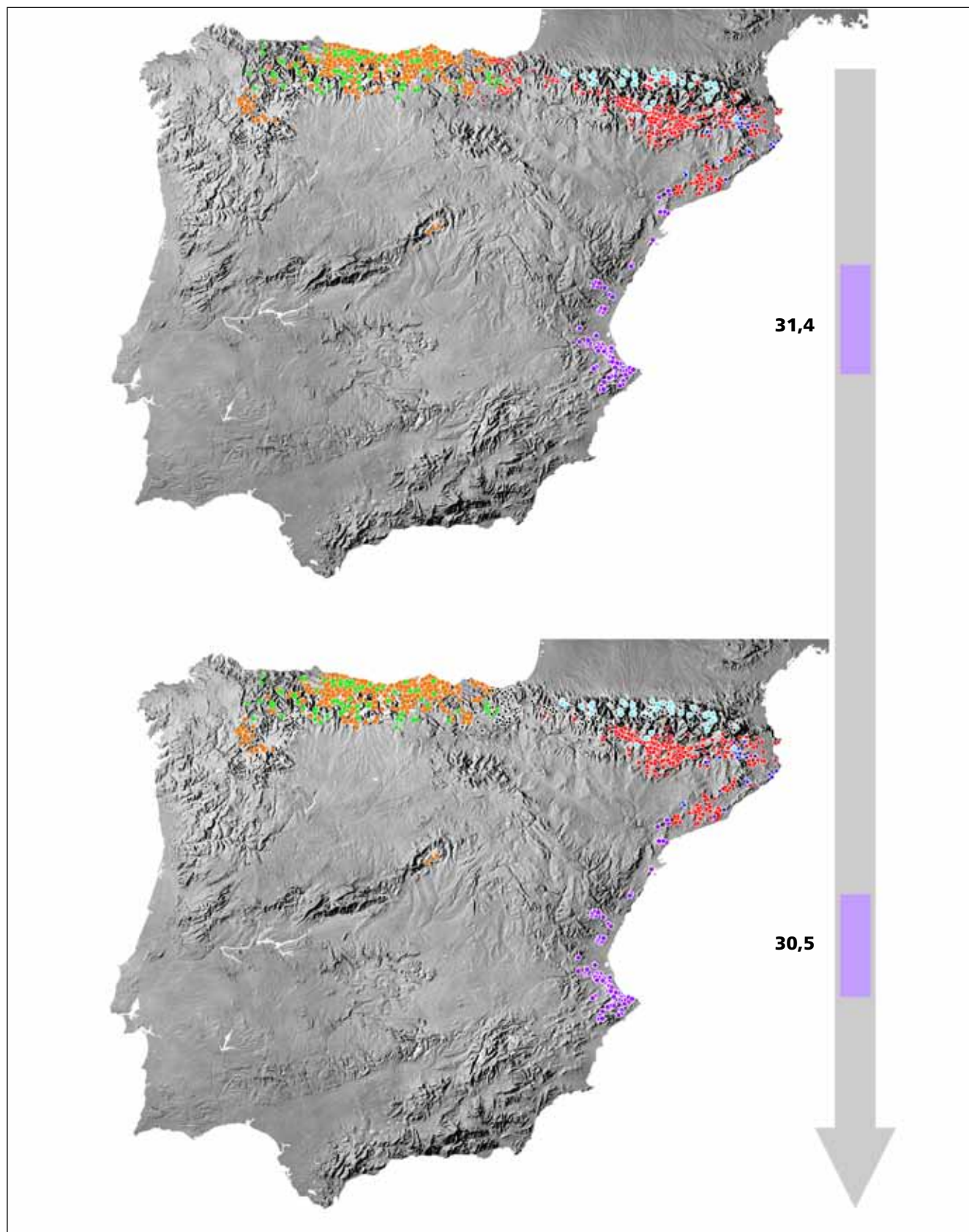


Fig. 17. Nodo en 31,4 MA del árbol filogenético de la figura 13: cladogénesis de los clados «*Speleochlamys*» (violeta) y «*Quaestus*» (anaranjado). Nodo en 30,5 Ma del árbol filogenético de la figura 13: cladogénesis de los clados «*Speonomus*» (rojo) y «*Speocharidius*» (negro).

